

# Støy

Stoff fra

- Fraden kap 5.13 (Støy)
- Fraden kap 5.11 (Brokoblinger)
- Fraden kap 3 (Induktans, kapasitans, Seebeck effekt, piezoelektrisitet, (triboelektrisitet)).
- Keithley: Low level measurements handbook
- Labøving 3

# Egenskaper ved støy

- Middelerdien av støysignalet er null

$$\langle V_{noise} \rangle = 0$$

- Ser på middelerdien av kvadratet

$$\langle V_{noise}^2 \rangle \neq 0$$

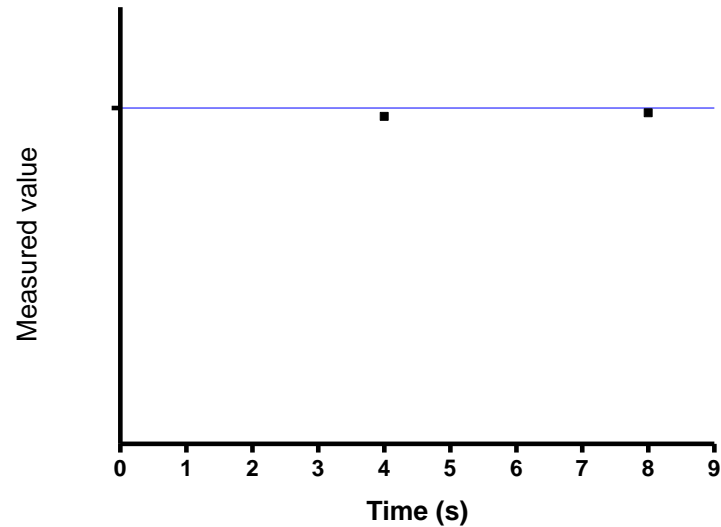
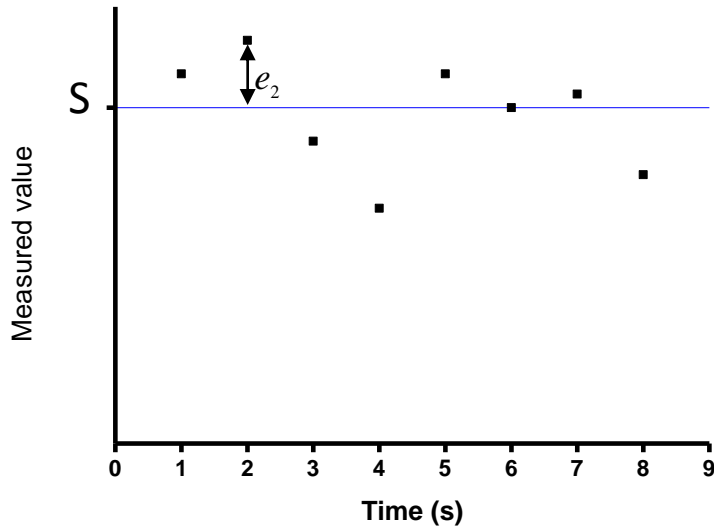
- Eller Root-Mean-Square

$$\sqrt{\langle V_{noise}^2 \rangle} \neq 0$$

- Mange støykilder er ukorrelererte

$$\langle V_{A+B}^2 \rangle = \langle V_A^2 \rangle + \langle V_B^2 \rangle$$

# Midling



$$M_i = S + e_i$$

$$\langle (M - \langle M \rangle)^2 \rangle = \langle e^2 \rangle$$

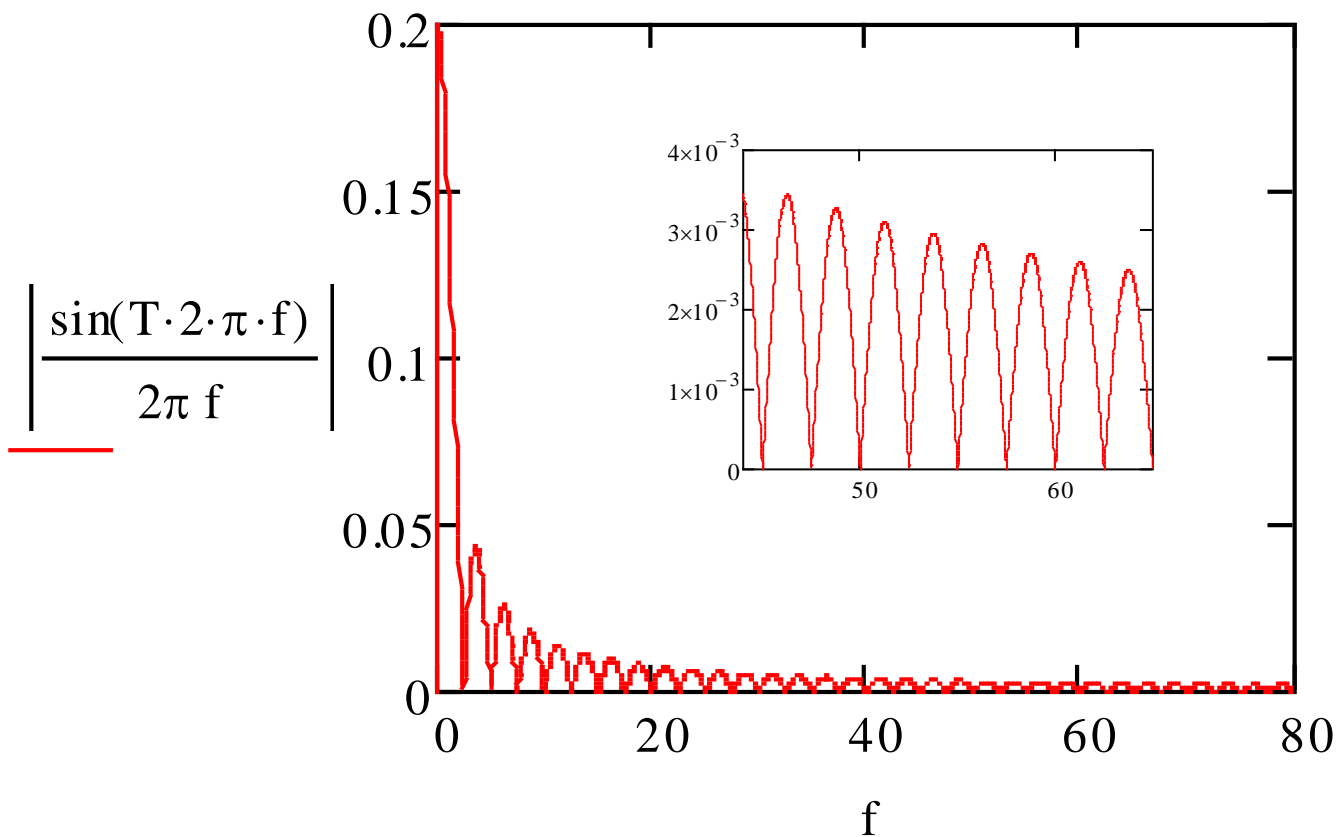
$$M = \frac{1}{4} \sum_{i=1}^4 M_i = \frac{1}{4} \sum_{i=1}^4 S + e_i$$

$$\langle (M - \langle M \rangle)^2 \rangle = \underline{\underline{\frac{1}{4} \langle e^2 \rangle}}$$

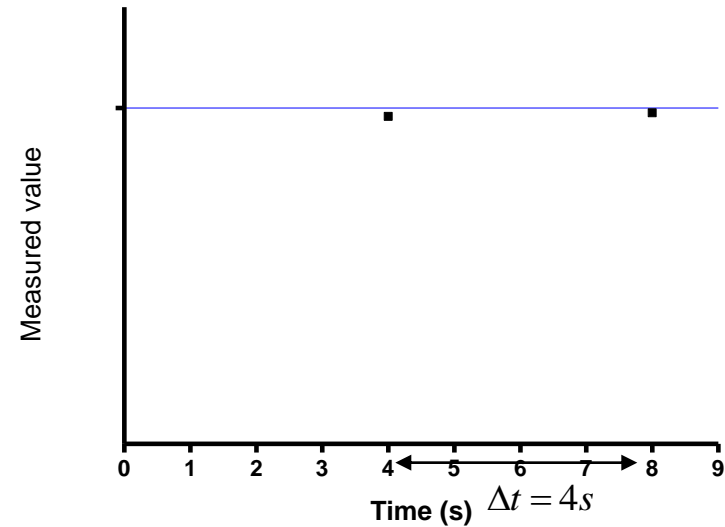
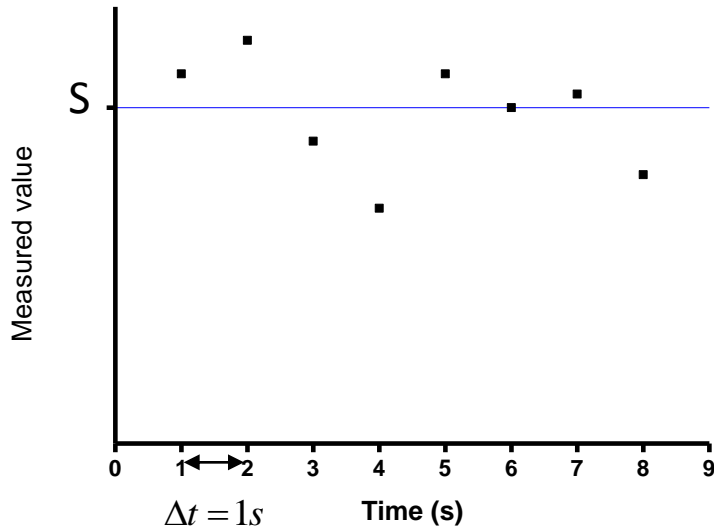
Midling over 4 punkter reduserer **standard avviket** med en faktor 2

Lett å se at midling over n punkter reduserer **standard avviket** med en faktor  $\sqrt{n}$

# Filteregenskaper for midling over en periode T

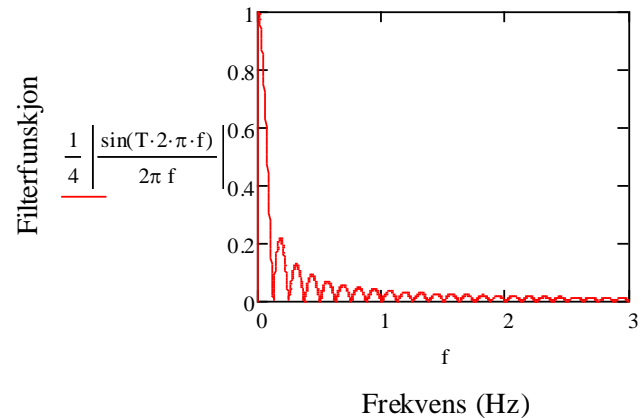
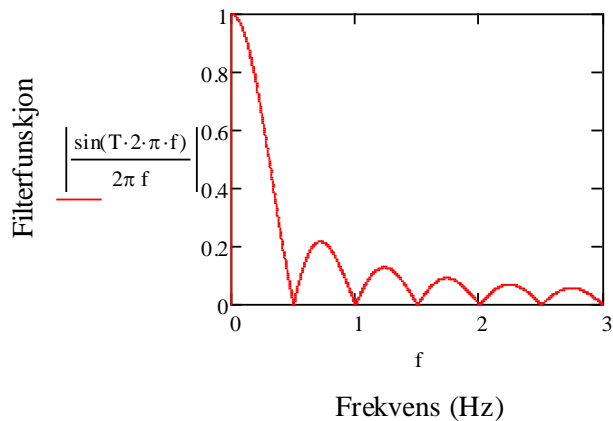


# Hva med båndbredden?



Båndbredde:  $\Delta f = \frac{1}{2\Delta t} = \frac{1}{2} \text{ Hz}$

$\Delta f = \frac{1}{2\Delta t} = \frac{1}{8} \text{ Hz}$



# Altså

Midling over n perioder:

- Reduserer RMS støyen med en faktor  $1/\sqrt{n}$
- Reduserer samtidig båndbredden med en faktor  $1/n$

Forutsatt:

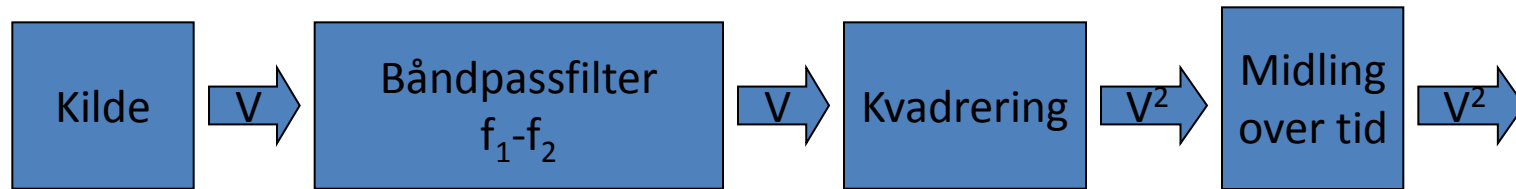
- Målingene er ukorrelerte i tid
- Støyen er hvit

Har forsøkt å sannsynliggjøre:

$$e_{rms} \propto \sqrt{\Delta f}$$

# Støymåling

Kan tenke oss:



Resultatet:

- Avhenger av frekvensen vi måler ved  $f = \frac{1}{2}(f_1 + f_2)$
- og av båndbredden vi måler med  $\Delta f = (f_2 - f_1)$

$$\langle V_{noise}^2 \rangle = g(f) \Delta f$$

Tar ofte kvadratroten for å finne RMS verdien

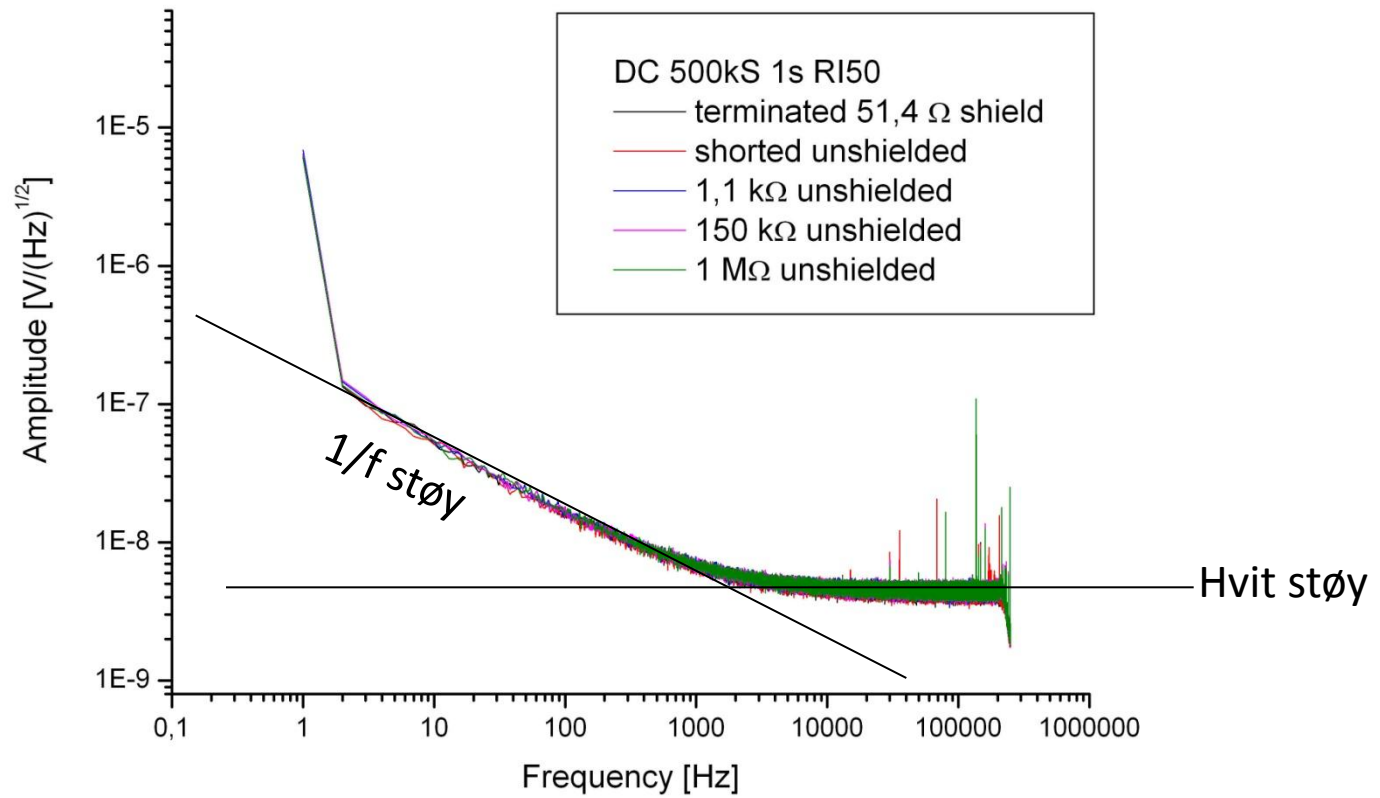


$$\sqrt{\langle V_{noise}^2 \rangle} = e(f) \sqrt{\Delta f}$$

↓  
v

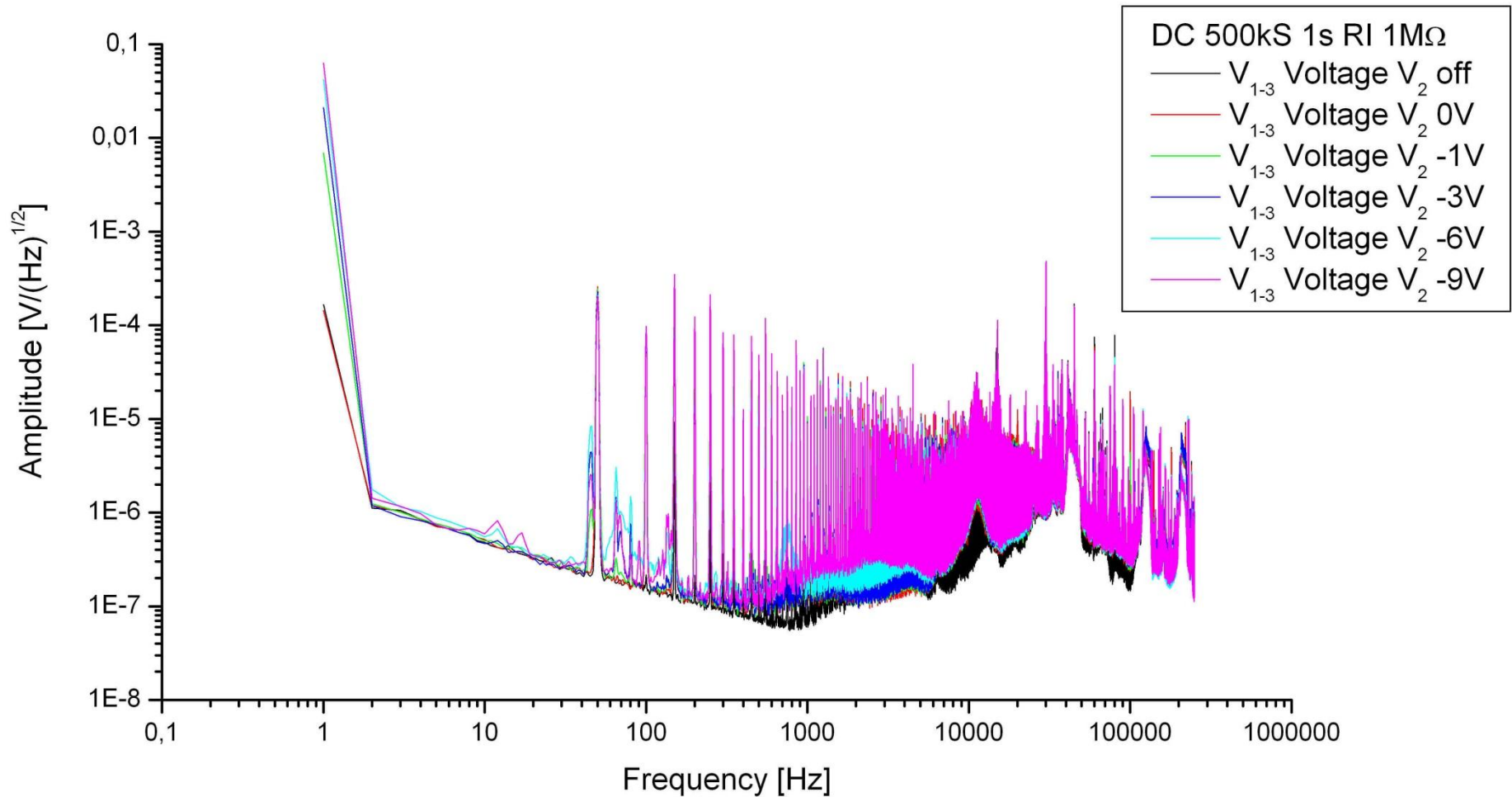
Enhet:  $\frac{V}{\sqrt{Hz}}$

# Eksempel 1



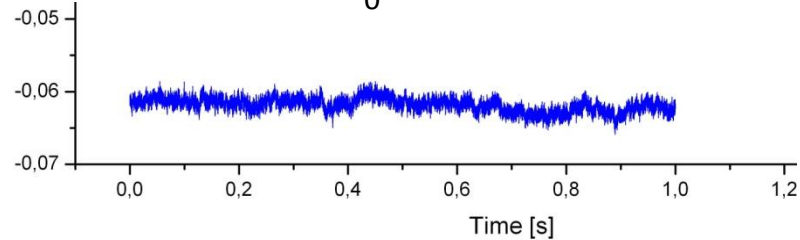


# Eksempel 2: Dårlig skjermet

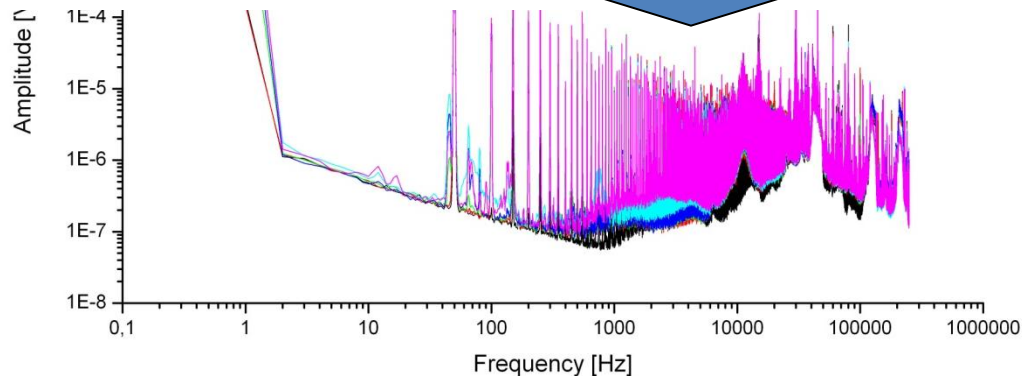


# Praktisk støymåling

Måler over tid  $t_0$  med intervall  $\Delta t$



Fouriertransform



Spekter:

Båndbredde/inkrement  $1/t_0$

Høyeste meningsfulle frekvens  $1/(2 \Delta t)$

$$\sqrt{\langle V_{noise}^2 \rangle} = e(f) \sqrt{\Delta f}$$

# Typer støy

## Indre støy (inherent noise)

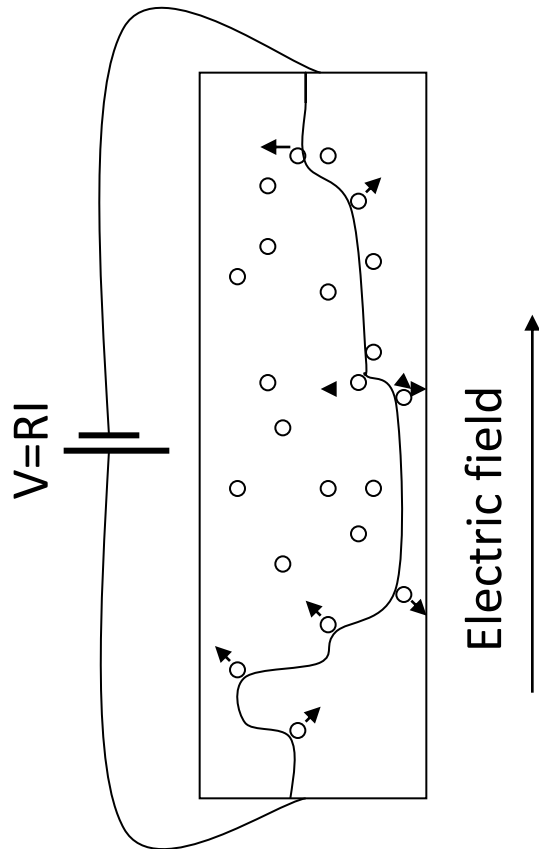
- Termisk støy (Johnson noise)
- Schottky noise
- $1/f$  støy

## Ytre støy (transmitted noise):

- Magnetisk
- Elektrisk
- Elektromagnetisk (RF)
- Termisk
- Vibrasjoner
- Fuktighet/kjemikalier

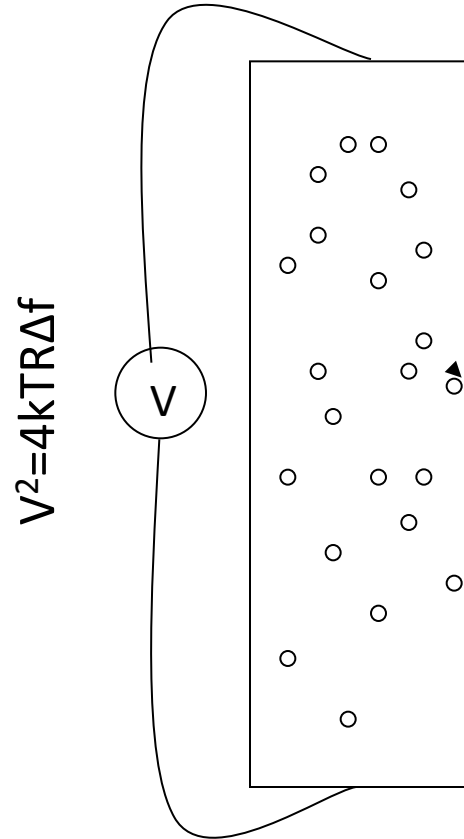
# Termisk støy

Resistivity/dissipation:



Electric energy -> Heat

Noise:



Heat -> Electric energy

# 1/f støy

- Mange mekanismer
  - For eksempel "fanging" av ladningsbærere
- Avhenger av kvalitet og størrelse på komponenter
- Kan reduseres
- Umulig å bli kvitt

# Induksjon i sløyfer

FIGURE 3-9: Low Voltages Generated by Magnetic Fields

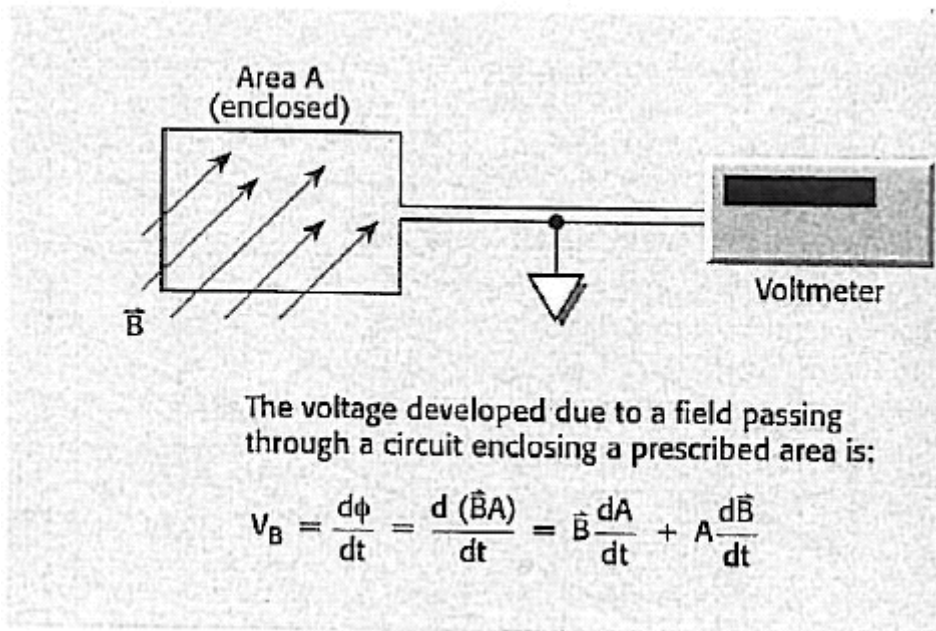
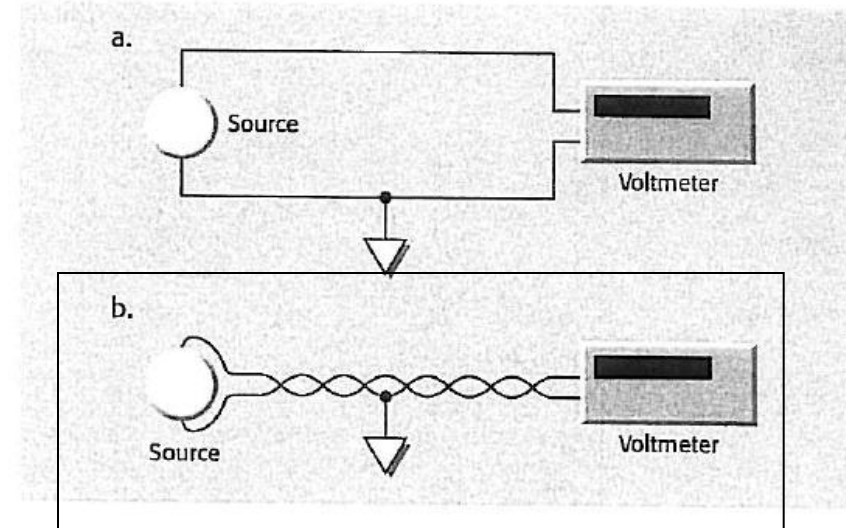


FIGURE 3-10: Minimizing Interference from Magnetic Fields



Elektromagnetisk skjerming  
Eller magnetisk skjerming (vanskelig)

# Skjerming

## 5.13 Noise in Sensors and Circuits

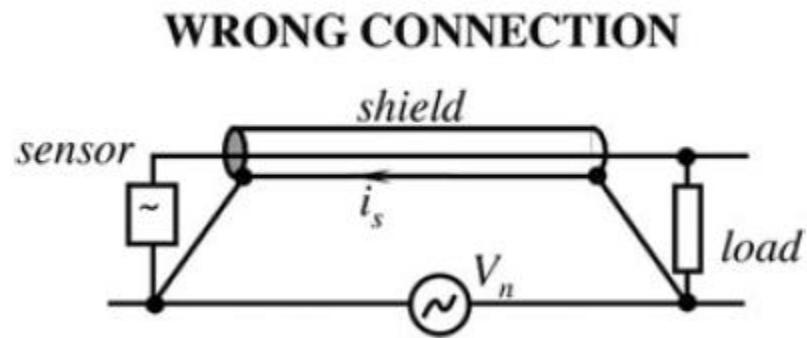
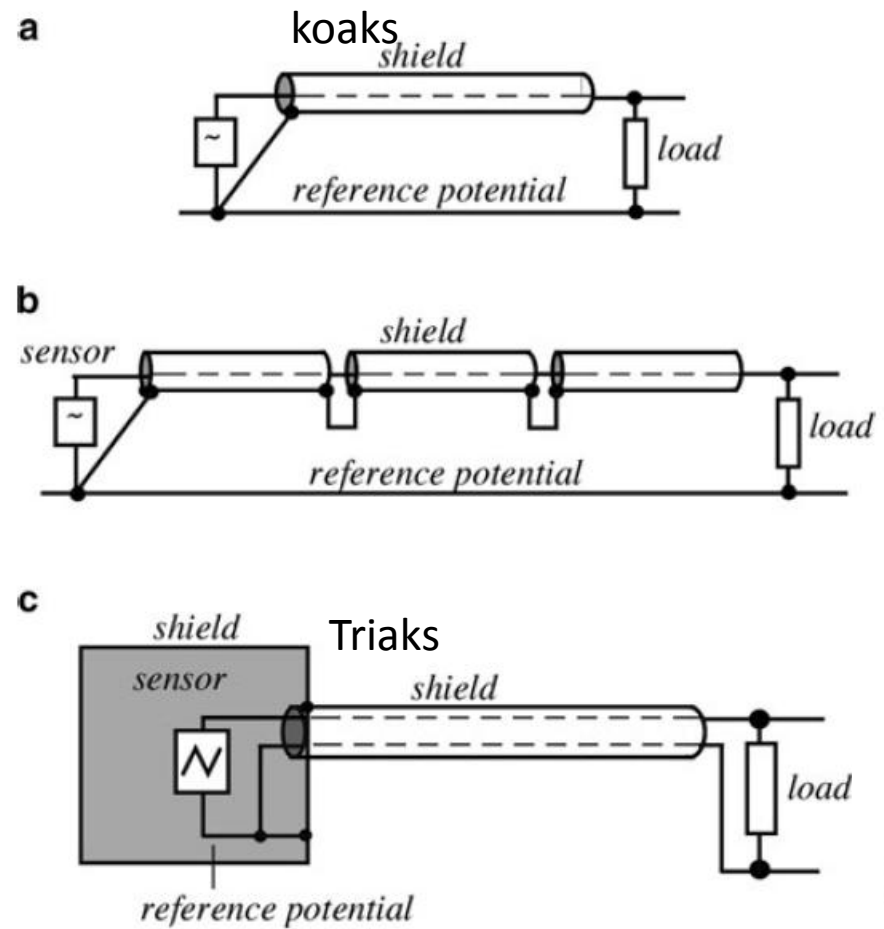


Fig. 5.48 Connections of an input cable to a reference potential

# Seebeck støy

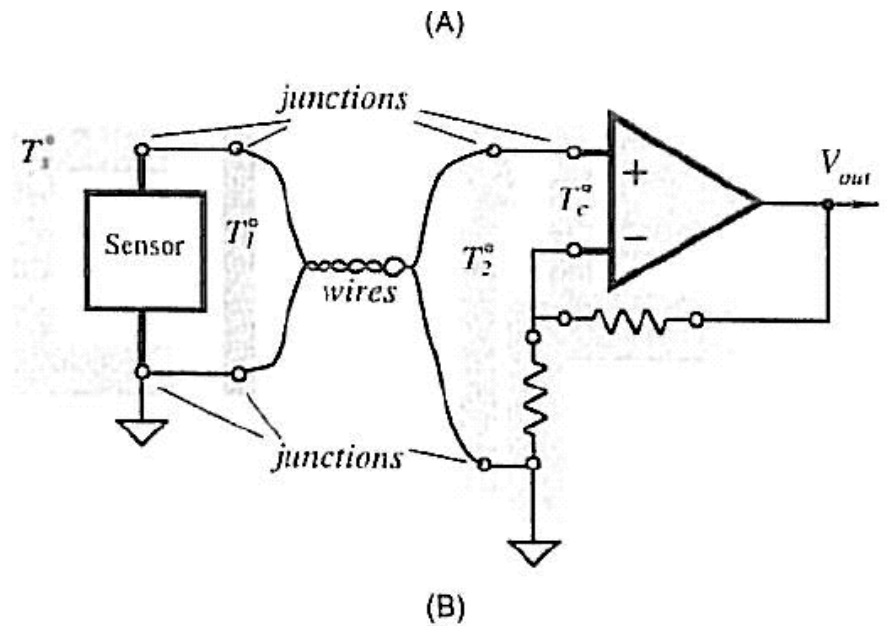
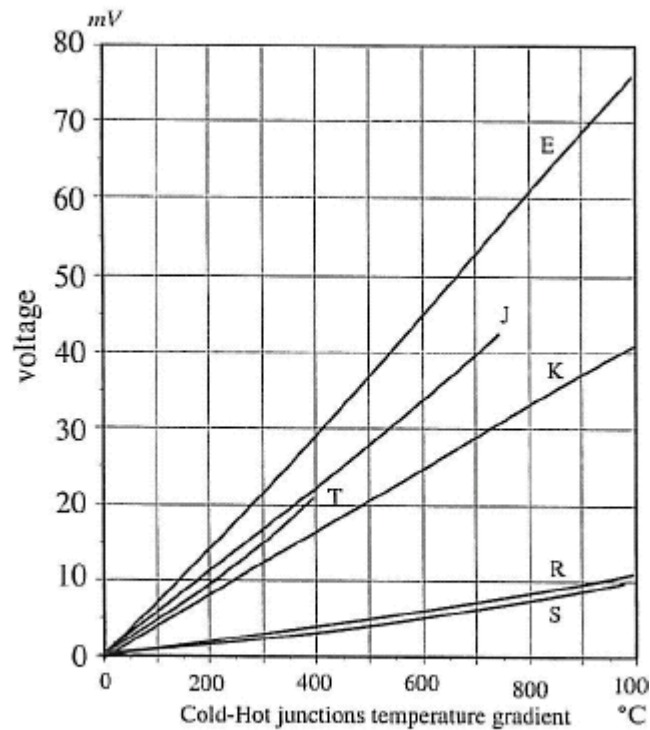


Fig. 3.36. Output voltage from standard thermocouples as functions of a cold-hot temperature gradient.



# Støy i ledningsføring

- (Elektro) magnetisk induksjon
- Piezoelektrisk effekt
- Triboelektrisk effekt
- Lekkasjestrømmer (på kort)

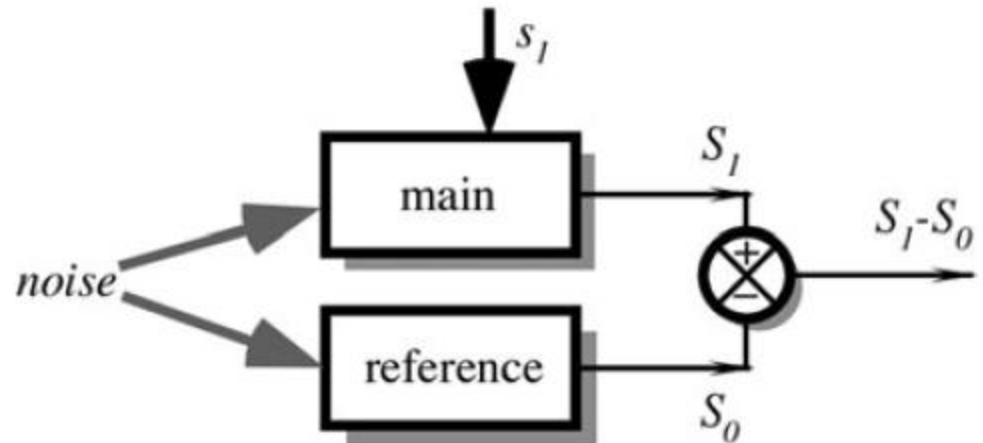
# Frekvensinnhold og størrelse

**Table 5.4** Typical sources of transmitted noise (adapted from [13])

External source	Typical magnitude	Typical cure
60/50 Hz power	100 pA	Shielding; attention to ground loops; isolated power supply
120/100 Hz supply ripple	3 $\mu$ V	Supply filtering
180/150 Hz magnetic pickup from saturated 60/50 Hz transformers	0.5 $\mu$ V	Reorientation of components
Radio broadcast stations	1 mV	Shielding
Switch-arcing	1 mV	Filtering of 5 to 100 MHz components; attention to ground loops and shielding
Vibration	10 pA (10–100 Hz)	Proper attention to mechanical coupling; elimination of leads with large voltages near input terminals and sensors
Cable vibration	100 pA	Use a low noise (carbon coated dielectric) cable
Circuit boards	0.01 – 10 pA/ $\sqrt{\text{Hz}}$ below 10 Hz	Clean board thoroughly; use Teflon insulation where needed and guard well

# Subtraksjon av støy

**Fig. 5.46** Differential technique



# Brokobling - subtraksjon

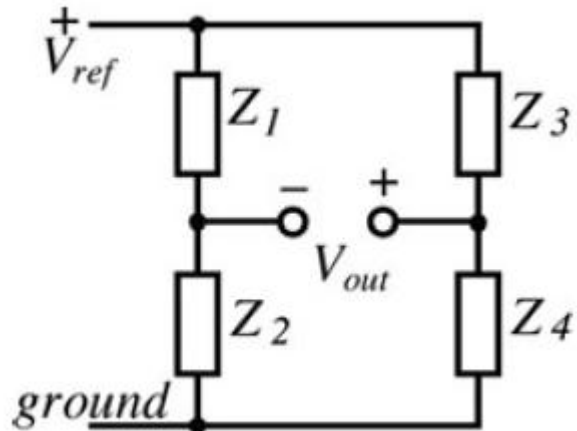
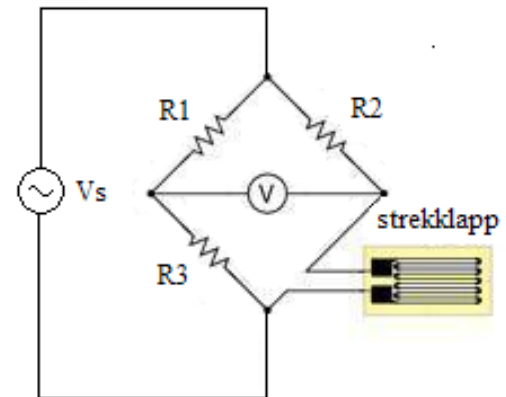


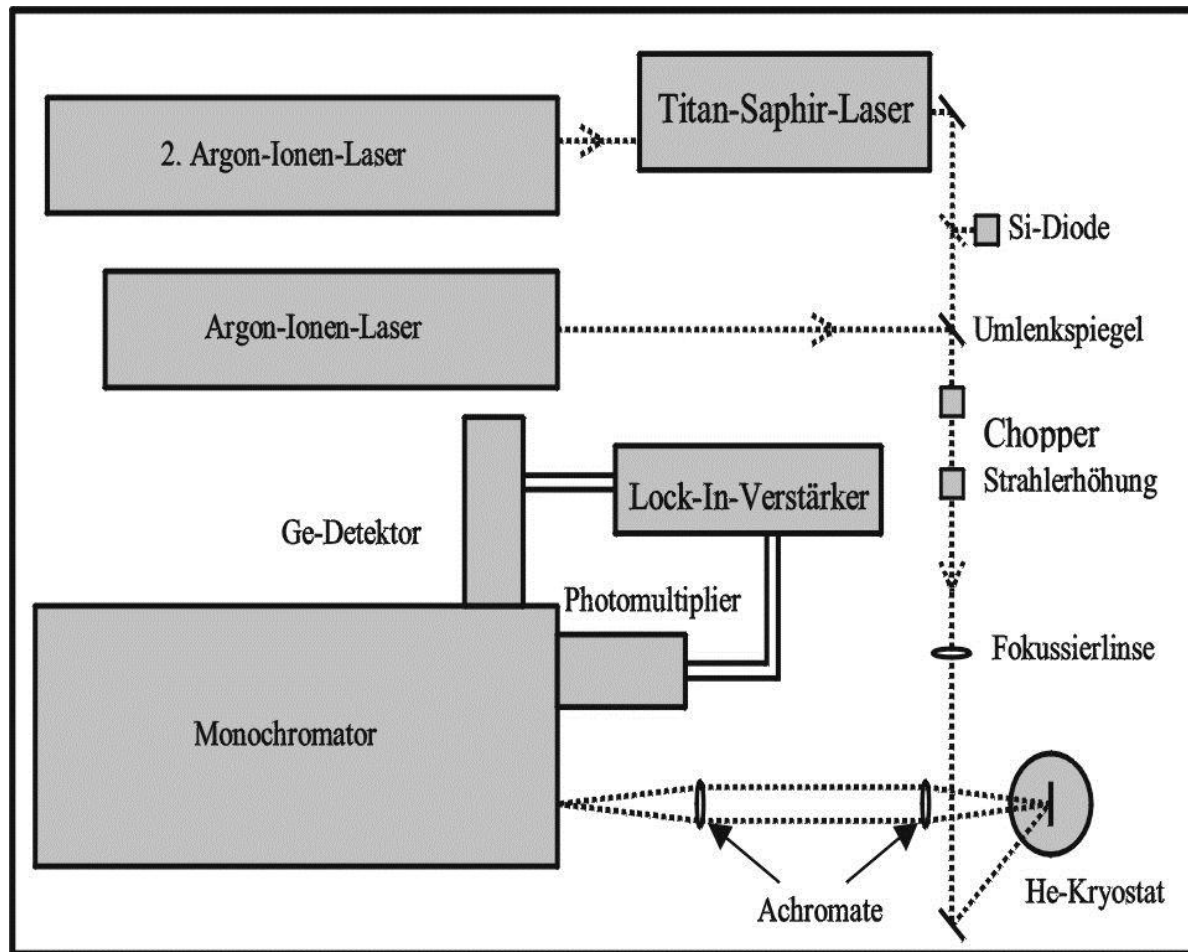
Fig. 5.37 General circuit of Wheatstone bridge



$$V_{out} = \left( \frac{Z_1}{Z_1 + Z_2} - \frac{Z_3}{Z_3 + Z_4} \right) V_{ref},$$

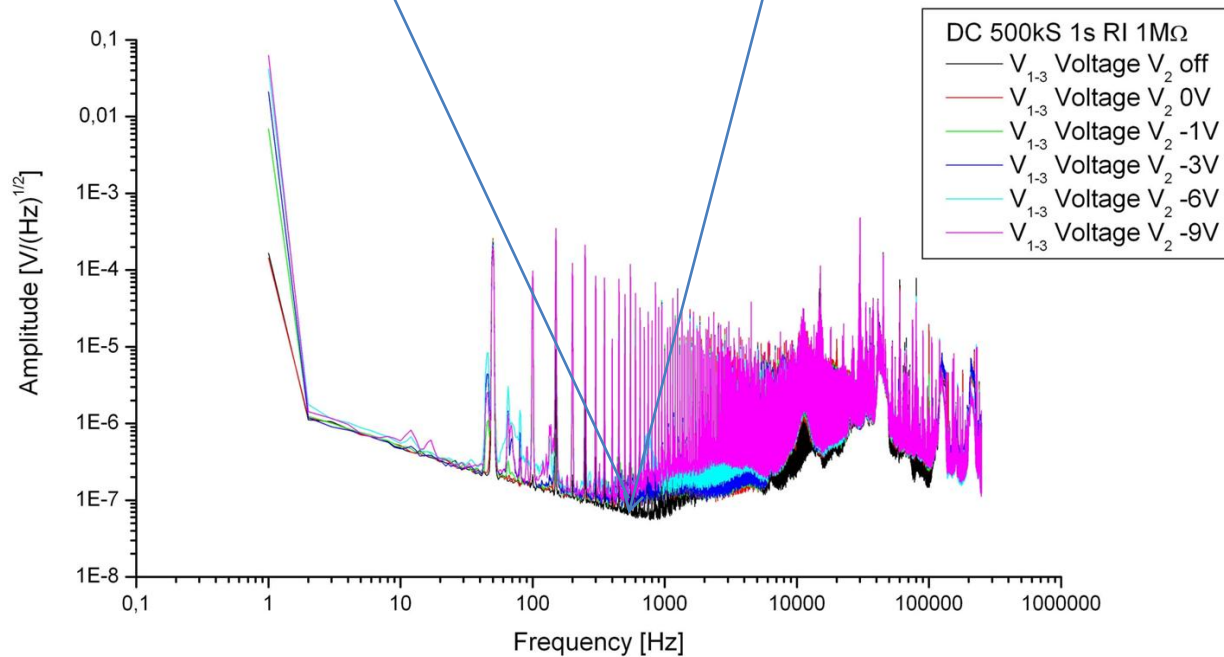
A red box containing an exclamation mark (!) is positioned above the minus sign in the equation, with a red arrow pointing to it.

# Lock-in forsterker i fotoluminiscence oppsett – Subtraksjon i tid



# Brokobling - modulasjon

$$V_{out} = \left( \frac{Z_1}{Z_1 + Z_2} - \frac{Z_3}{Z_3 + Z_4} \right) V_{ref}$$

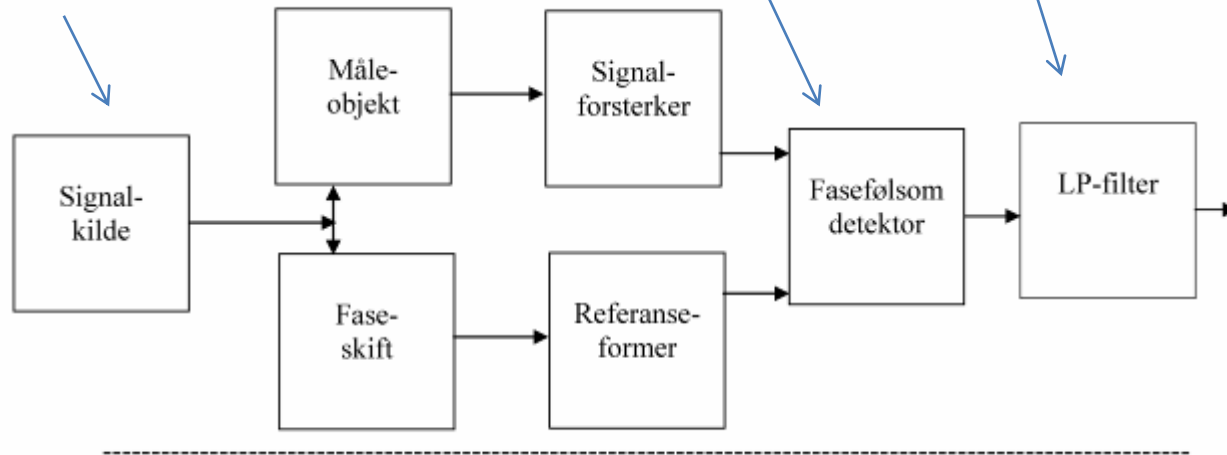


# Lab 3

Fjerner støyen som har blitt med

Flytter resultatet ned igjen

Flytter målingen opp i frekvens



# Noen viktige punkter

Brokobling:

1. Tar en differanse (gjør om en liten forskjell til et fullt signal)
2. Kan subtrahere støy (typisk temperatur)
3. Kan i tillegg moduleres
  - Induktive og kapasitive elementer MÅ moduleres
  - PN isolerte motstander kan IKKE uten videre moduleres

Kjært barn – mange navn

- Lock-in (forsterker)
- Fasefølsom deteksjon
- Synkron deteksjon